

九州大学工学部 正員 川村彰彦

正員 大塚久哲

正員 吉村虎藏

1. まえがき

現行の鋼道路橋示方書にはフランジ自由突出部の幅厚比制限が定められている。この規定は一種圧縮応力のみが作用する直線工桁のフランジについて定められたものである。ところが近年、道路線形状の要求から、主桁に曲線工桁を用いて曲線橋が多く建設されるようになってきた。この曲線橋は通常の荷重が作用しても主桁内に曲げモーメントの他に曲げねじりモーメントが発生し、また主桁の初期曲率の影響によりフランジ内の応力分布は一様ではなくなる。本研究は、曲線工桁圧縮フランジに曲げ応力と傾加応力を同時に発生する場合の塑性座屈強度を求め、曲線工桁フランジの自由突出幅について考察したものである。

2. 解析理論

解析上へ仮定は文献1)と同じであり、本研究もBijlaard の塑性変形理論を用いている。このとき、応力増分とひずみ増分の関係は次式で定義される。

$$\begin{bmatrix} \Delta \sigma_r \\ \Delta \sigma_\theta \\ \Delta \tau_{r\theta} \end{bmatrix} = E \begin{bmatrix} R_1 & R_2 & 0 \\ R_2 & R_3 & 0 \\ 0 & 0 & R_4 \end{bmatrix} \begin{bmatrix} \Delta \epsilon_r \\ \Delta \epsilon_\theta \\ \Delta \gamma_{r\theta} \end{bmatrix} \quad (1)$$

モードと曲率の関係は次式で定義される。

$$\begin{bmatrix} M_r \\ M_\theta \\ M_{r\theta} \end{bmatrix} = \frac{EI_s}{12} \begin{bmatrix} R_1 & R_2 & 0 \\ R_2 & R_3 & 0 \\ 0 & 0 & R_4 \end{bmatrix} \begin{bmatrix} X_r \\ X_\theta \\ X_{r\theta} \end{bmatrix} \quad (2)$$

$R_1 \sim R_4$ は弾性域、塑性域に応じて次のようになる。弾性域では $R_1 = \frac{1}{1-\nu^2}$, $R_2 = \frac{\nu}{1-\nu^2}$, $R_3 = \frac{1}{1-\nu^2}$, $R_4 = \frac{1}{2(1+\nu)}$ 。塑性域では $R_1 = \frac{1}{5-4\nu+3\varepsilon}$, $R_2 = \frac{2}{5-4\nu+3\varepsilon}$, $R_3 = \frac{4}{5-4\nu+3\varepsilon}$, $R_4 = \frac{1}{2+2\nu+3\varepsilon}$ 。ここで $\varepsilon = \varepsilon/\varepsilon_y - 1$, $\varepsilon = \text{外カムずみ}$, $\varepsilon_y = \text{降伏ひずみ}$, $\nu = \text{和アヤニ比}$ である。また、面外変位 w の変位膜数は次式にて仮定する。

$$w = \sum_i [(1 - \frac{3}{4}R^2 + \frac{1}{4}R^3)W_{im} + b(R - R^2 + \frac{1}{4}R^3)Y_{im} + (\frac{3}{4}R^2 - \frac{1}{4}R^3)W_{jm} + b(\frac{1}{4}R^2 - \frac{1}{4}R^3)Y_{jm}] \sin \frac{m\pi \theta}{\alpha} \quad (3)$$

ただし、座屈モードは θ 方向には S_{im} の半波と考えてよいから、 $m = 1$ に注してのみ計算を行なう。

肩形帶板要素の座屈変形とともにボテンシャルエネルギー則は次式で与えられる。

$$\Pi = \frac{1}{2} \int_{0}^{R} [M_r X_r + M_\theta X_\theta + M_{r\theta} X_{r\theta}] r dr d\theta - \frac{1}{2} \int_{0}^{R} \sigma_\theta(r) \left(\frac{1}{r} \frac{dw}{d\theta} \right)^2 r dr d\theta \quad (4)$$

式(4)によると肩形帶板要素の原理を用いれば肩形帶板要素の基本式を得る。

3. 曲線工桁フランジの局部座屈強度(1) 解析モデル

図1に示す外側フランジのモデルを解析する。残留応力分布は溶接型残留応力分布とし、 $\sigma_{cr} = \sigma_s$, σ_{cr} は $1/8\sigma_y$, Y_{cr} , Y_{cr} の3例を計算した。中心角は $\alpha = 0.05 \text{ rad}$ とする。応力状態は一様圧縮、三曲形応力分布、台形応力分布の3例を計算した。残留応力、あるいは傾加応力がある場合の塑性座屈強度は次式によって算定するものとする。

$$\sigma_{cr} = \sigma_s - \int \sigma_s dx / b \quad (5)$$

$$\sigma_{cr} = \sigma_s - \int \sigma_s dx / \frac{b}{2}(2 - \zeta^2) \quad (6)$$

(5)式は一様圧縮応力状態、(6)式は応力勾配のある場合の座屈応力度である。

(2) 幅厚比(b/t)とアスペクト比(b/w)の関係

幅厚比はアスペクト比の増加とともに一様に減少するが、アスペクト比10程度ではほぼ収束することが確かめられたので、以下の計算は $b/w=10$ で計算した。

(3) 残留応力、付加応力、中心角の影響

図3, 4, に中心角 $\alpha = 0.05 \text{ rad}$ の時の座屈曲線を示した。その結果、残留応力の大小、及ぶ応力勾配による R_{cr} は大きく影響を受けることがわかる。ただし、図には示していないが、矩形板($d=0.0$)及 $w/\alpha = 0.3 \text{ rad}$ の時の座屈曲線もこれとはほぼ同一になり、中心角の影響は小さいことがわかる。

4. 幅厚比制限への提案

図3, 4をもとに残留応力 $\sigma_r/\sigma_y = 1/2$ の場合の限界幅厚比を各種鋼材について求めると表1を得る。これから応力勾配や角の場合は b/t は1/～3程度大きくなることがわかる。

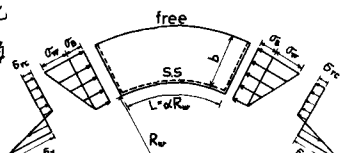


図-1 解析モデル

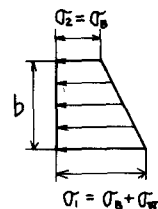


図-2 応力勾配

表-1 自由突出部の幅厚比

参考文献

- 1) 大塚・吉村・片桐: 有限要素法による曲線工桁の彈塑性座屈強度解析, 第34回工学会年次学術講演会概要集, 1979, 10
- 2) 福本・伊藤: フランジの局部座屈強度とフランジ幅厚比制限, 工学会論文集, 160号, 1968, 10
- 3) 鹿野・Tall: Residual Stress and Local Buckling Strength of Steel Columns, 土木学会論文集, 72号, 1981, 12
- 4) Culver・Frampton: Local Instability of Horizontally Curved Members, Proc. of ASCE, Vol. 96, No. ST2, Feb. 1970.
- 5) 川村・大塚・秀坂: 有限要素法による曲線工桁フランジの局部座屈強度解析, 第34回工学会年次学術講演会概要集, 1979, 10

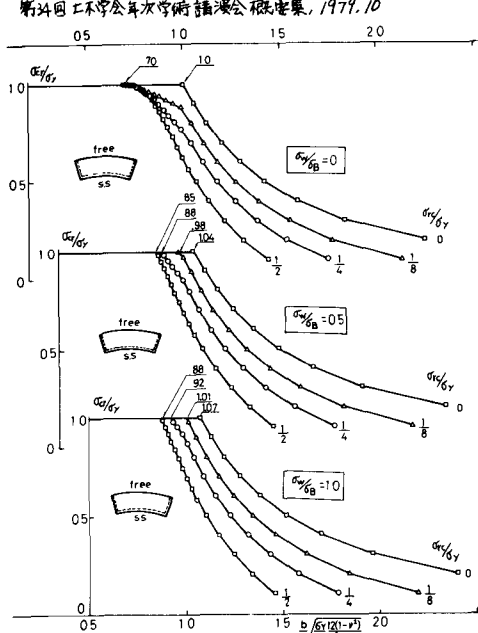


図-3 外側フランジ($\alpha=0.05$)の座屈曲線
(その1)

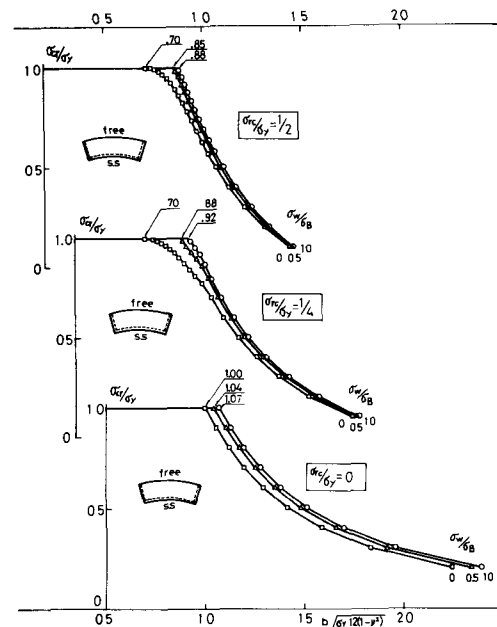


図-4 外側フランジ($\alpha=0.05$)の座屈曲線
(その2)